

Daniel Schwarz







06.12.2021



"Smarte Materialien und intelligente Produktionstechnologien für energieeffiziente Produkte der Zukunft"



- Bundesweiter Wettbewerb "Starke Hochschulen Impuls für die Region"
- Konzept zum nachhaltigen Ausbau des regionalen Kooperationsnetzwerks
- Hochschule Aalen unter den 10 Gewinnern (81 Anträge)
- Laufzeit: 4 Jahre (Verlängerung möglich)
- BMBF-Förderung: ca. 5 Mio. EUR plus > 850 TEUR Industriemittel

Vorstellung Impulsprojekt InDimat



InDimat (Projektlaufzeit: 4 Jahre, Beginn: 1. Mai 2017)

"Innovative Fügeverfahren und beanspruchungsgerechte Designkonzepte für hybride Leichtbau CFK-Multimaterialverbunde"



Projektleitung:

Prof. Dr. Kallien

Teilprojekt 1:

Dr. Rimkus (Simulation)

Teilprojekt 2:

Prof. Dr. Riegel (Thermisches Direktfügen)

Prof. Dr. Knoblauch (Adhäsives Fügen)
Prof. Dr. Kallien (Druckumgießen)

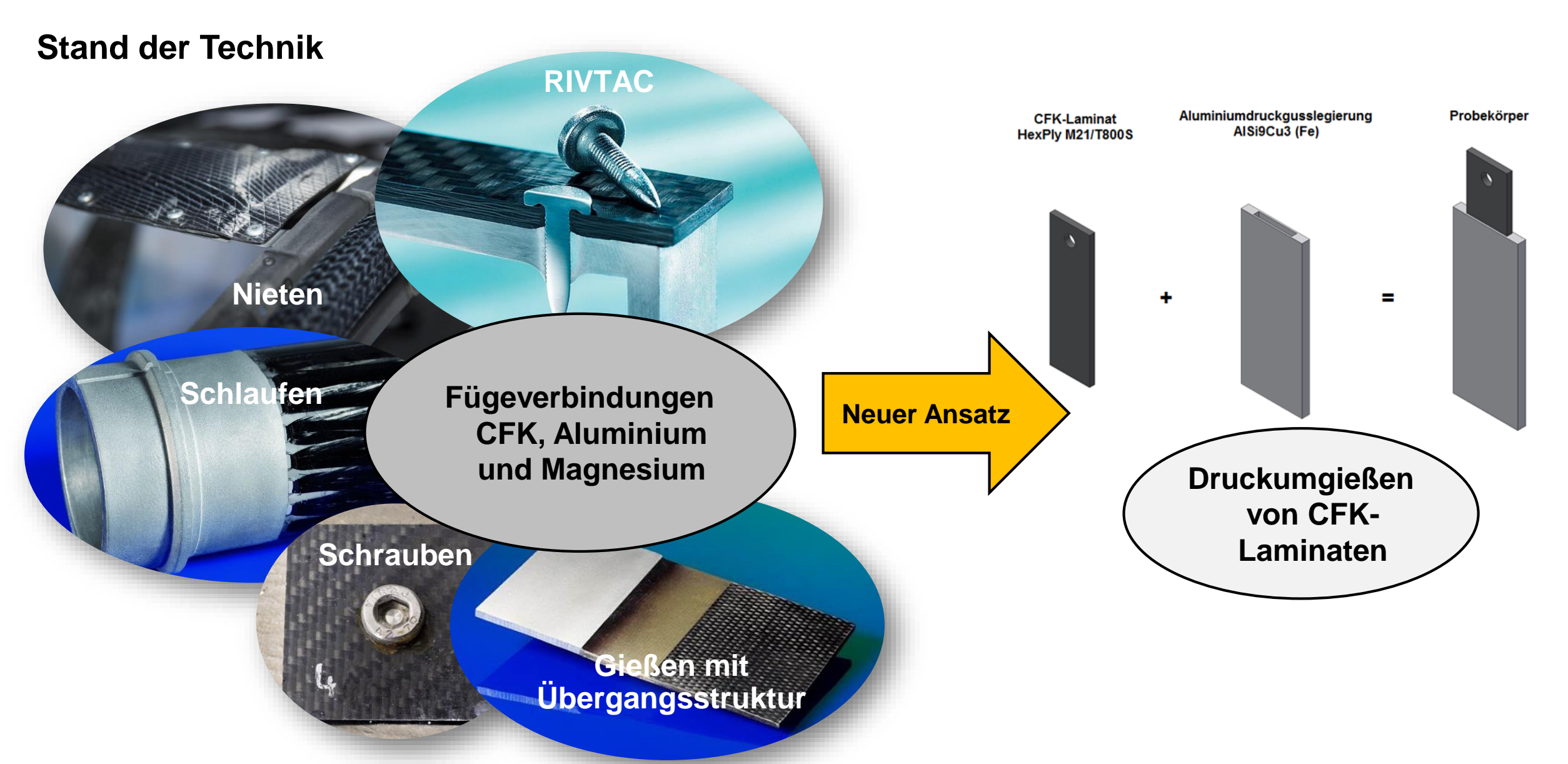
Teilprojekt 3:

Prof. Dr. Schuhmacher (Zerstörungsfreie Prüfung)



Vorstellung Impulsprojekt InDimat

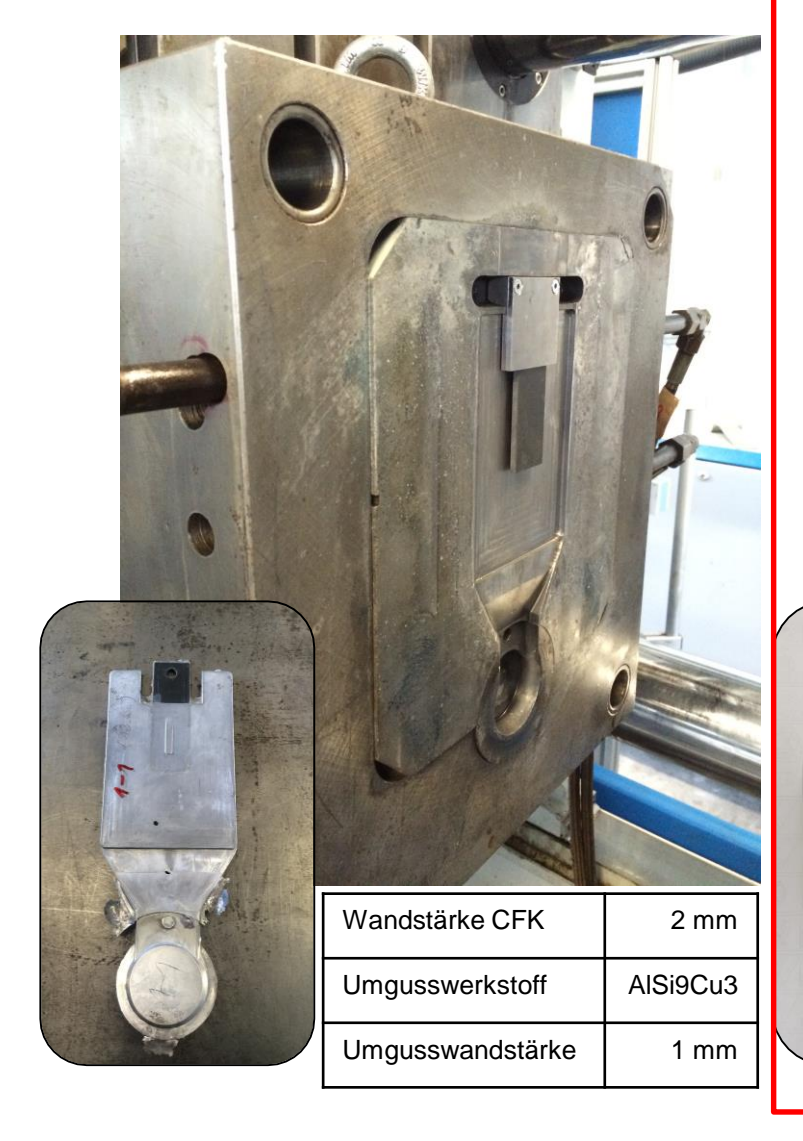




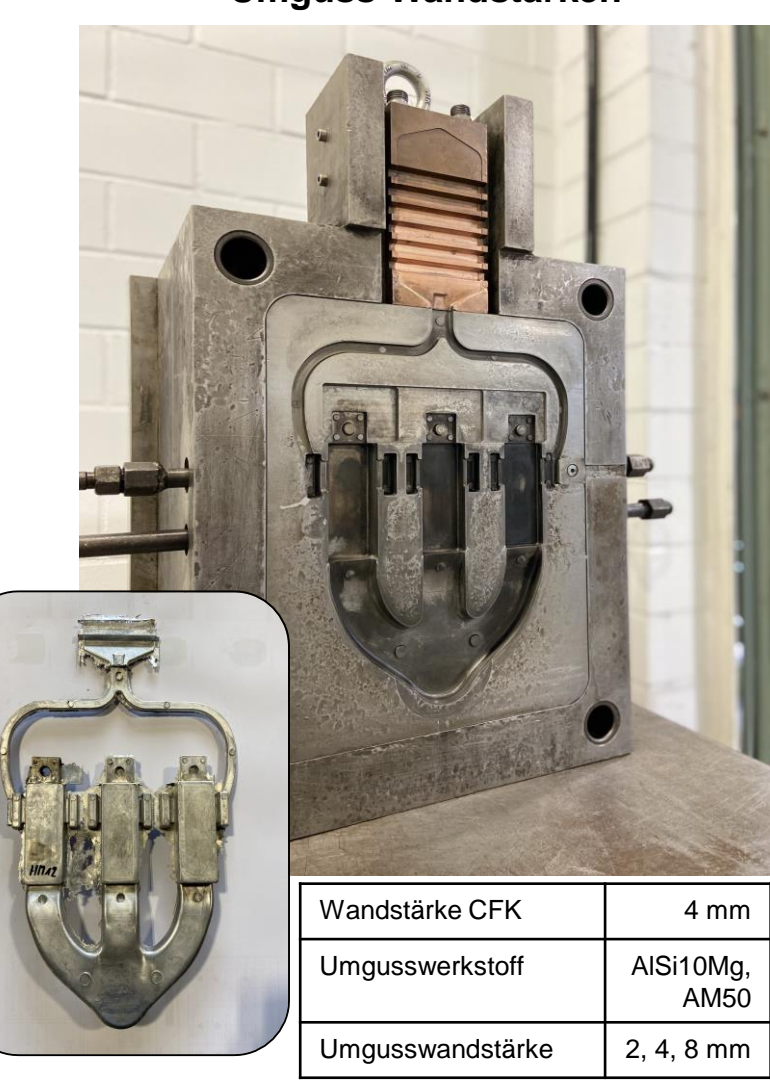
Entwicklung Druckgießwerkzeug



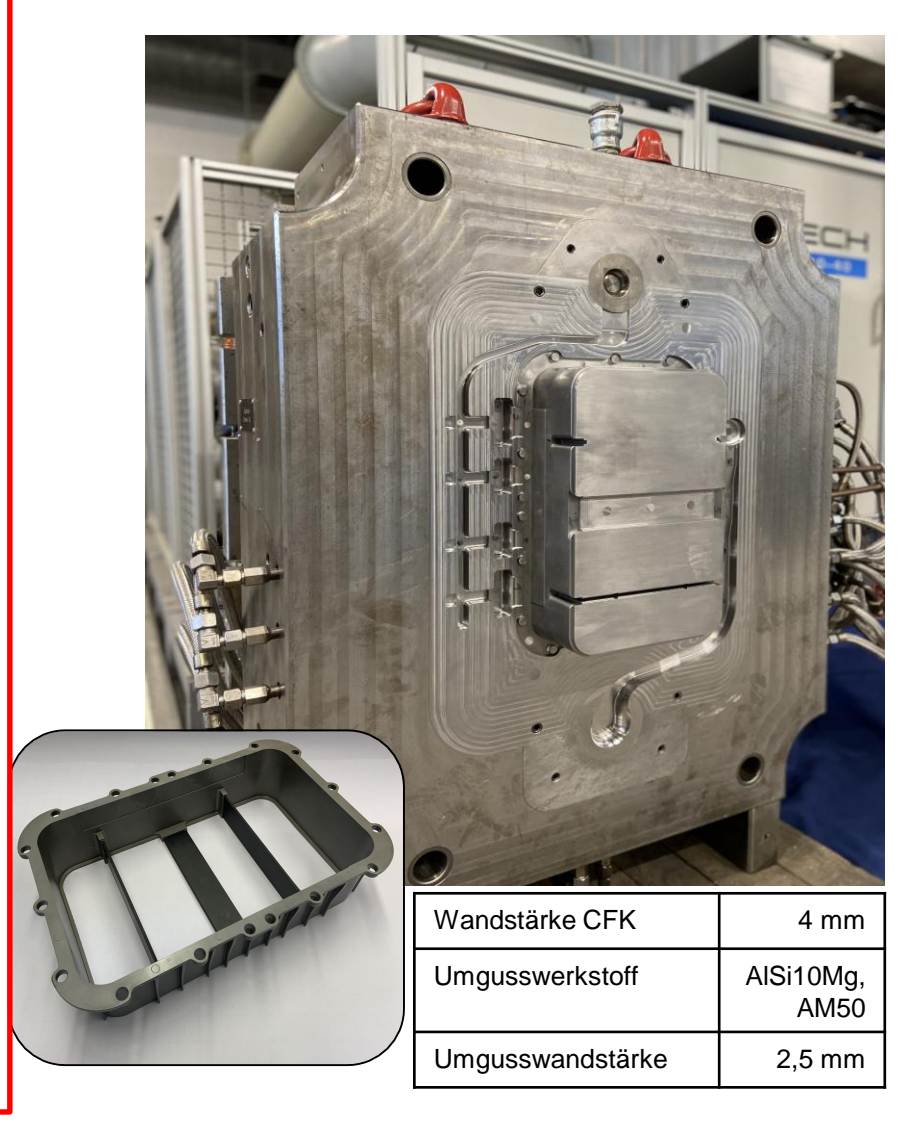
CFK-Umguss Plattengeometrie



3-fach Werkzeug mit variierenden Umguss-Wandstärken



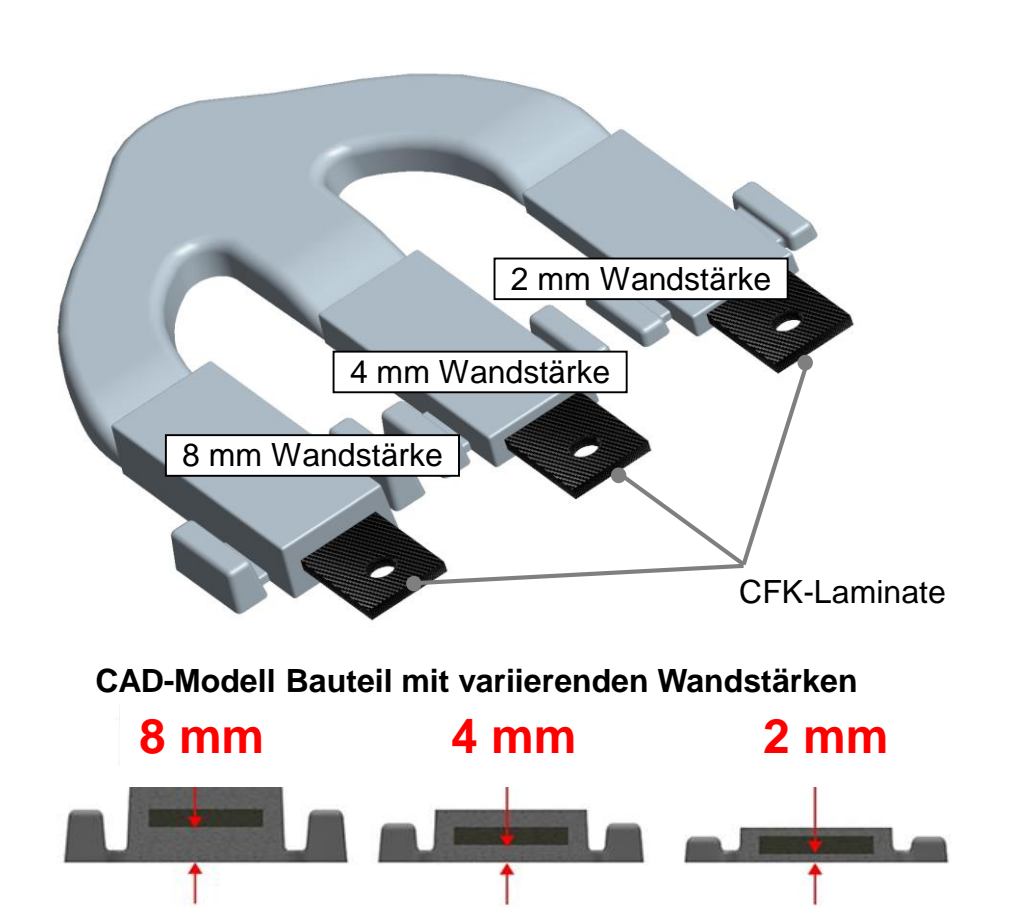
Demonstrator-Batteriegehäuse

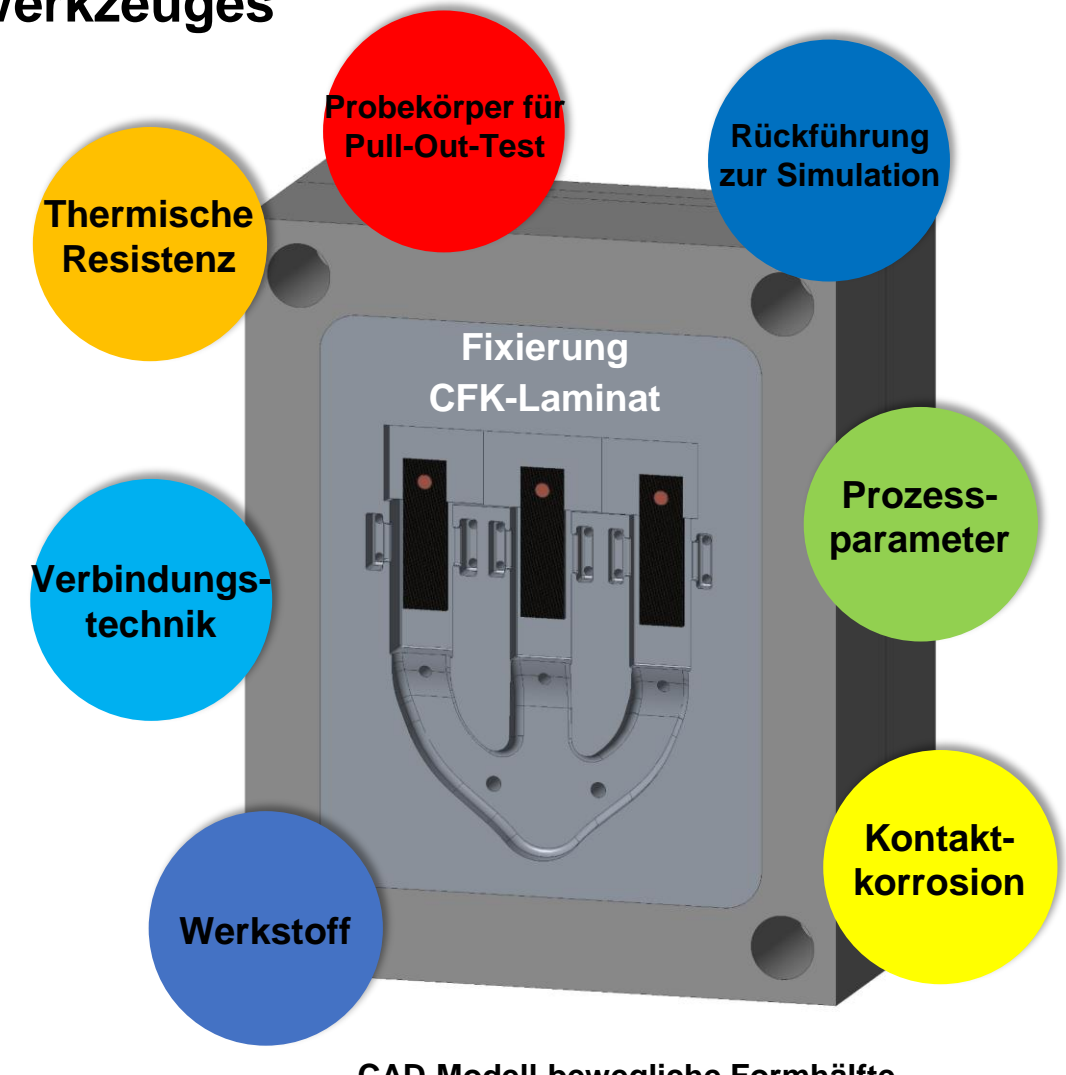


Entwicklung Druckgießwerkzeug



Konstruktion und Herstellung eines Druckgießwerkzeuges



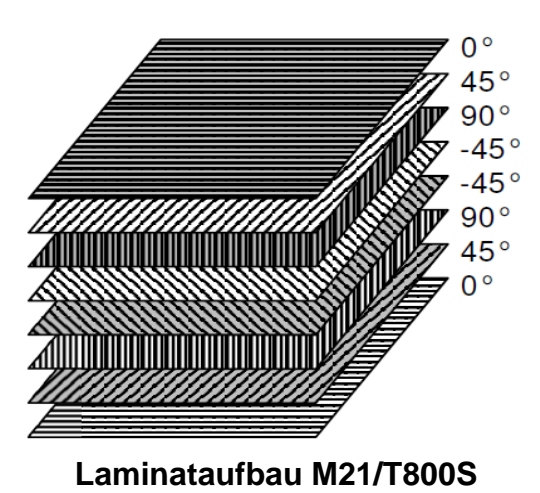


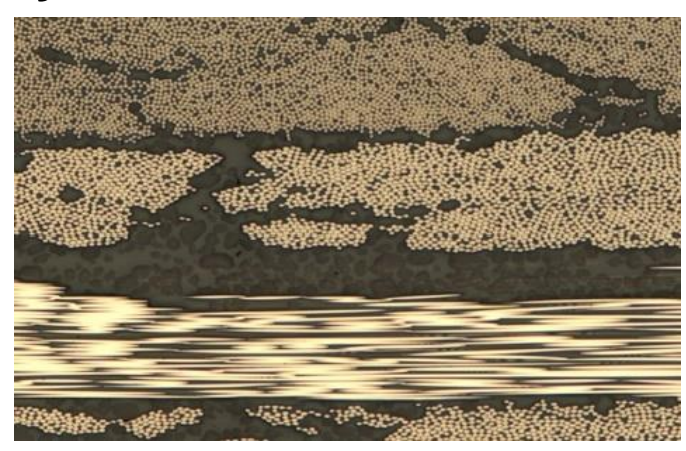
CAD-Modell bewegliche Formhälfte

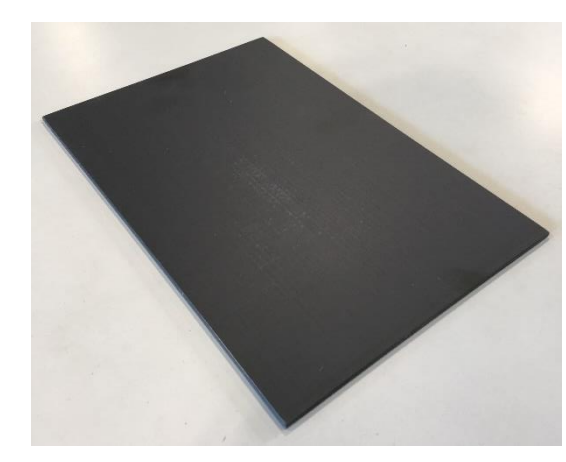
Versuchsvorbereitung



Verwendetes CFK: Prepreg HexPly® M21/T800S



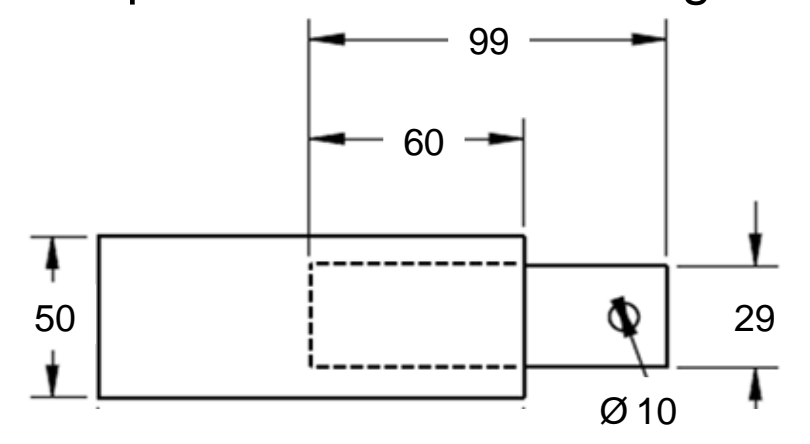




Mikrostruktur M21/T800S Lichtmikroskop (100x)

CFK-Rohlinge (300x200x4 mm)

Anpassen der CFK-Rohlinge an die Geometrie der Druckgusseinsätze



Abmessungen der Probekörper CFK/AI/Mg



Magnesium/CFK Probeköper M5



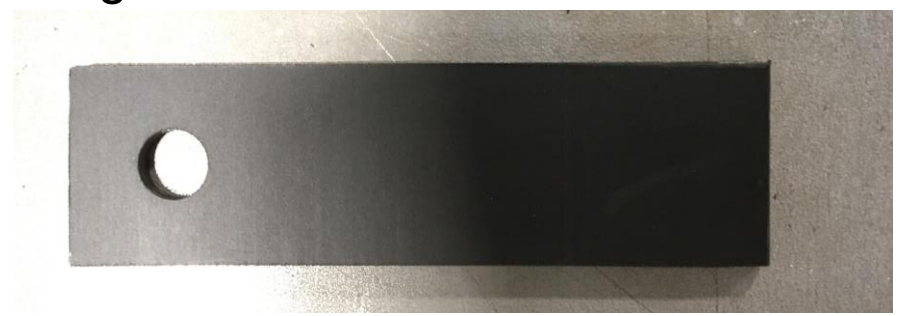
Aluminium/CFK Probeköper 17

Versuchsvorbereitung



Anpassen der CFK-Rohlinge an die Geometrie der Druckgusseinsätze

Sägen und Bohren





Laserschneiden mittels CO₂-Laser (Fa. Trumpf)





Alternative: Wasserstrahlschneiden

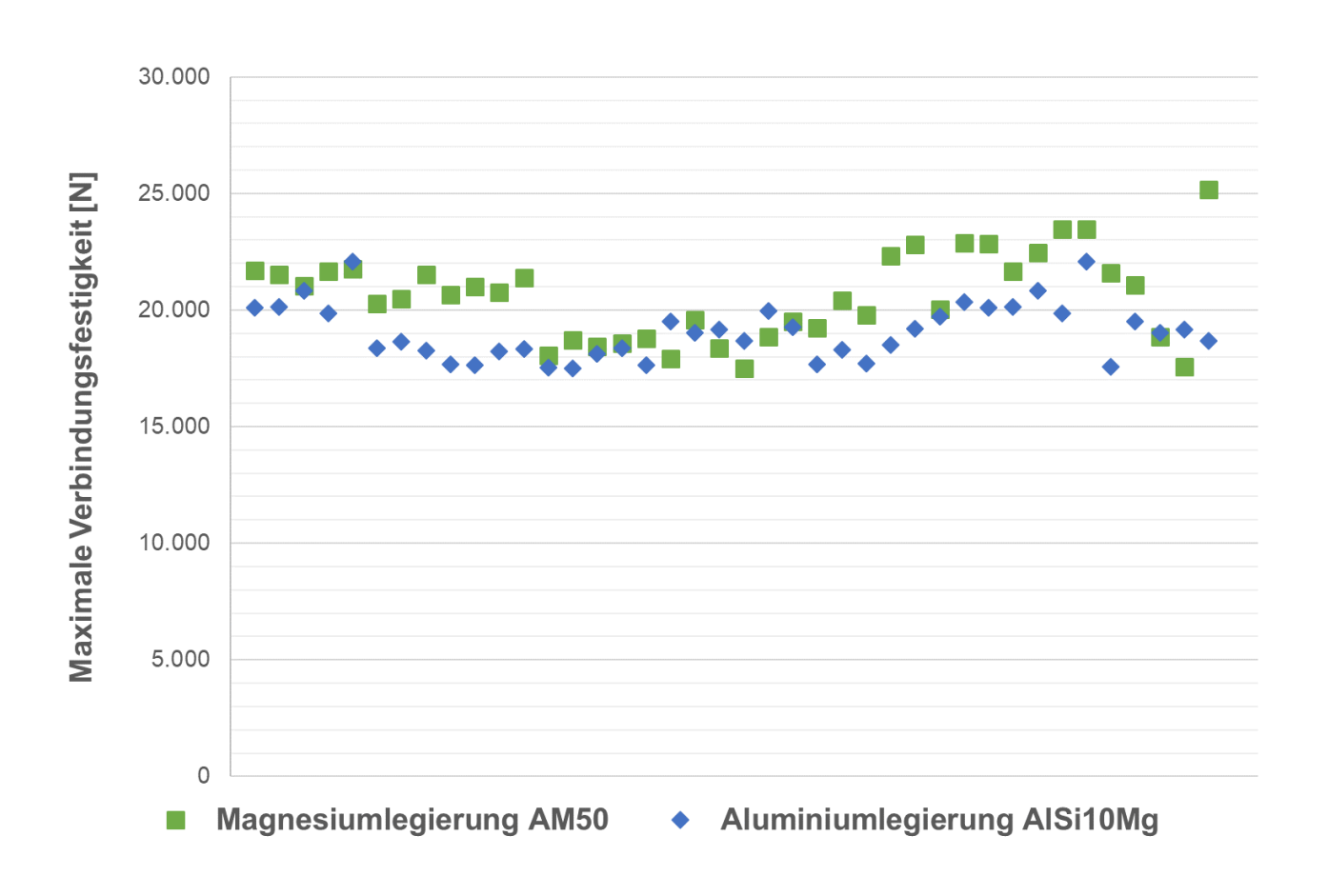
Versuchsergebnisse



Hohe Festigkeit der Verbindung CFK und Aluminium bzw. Magnesium von bis zu 2,5 Tonnen



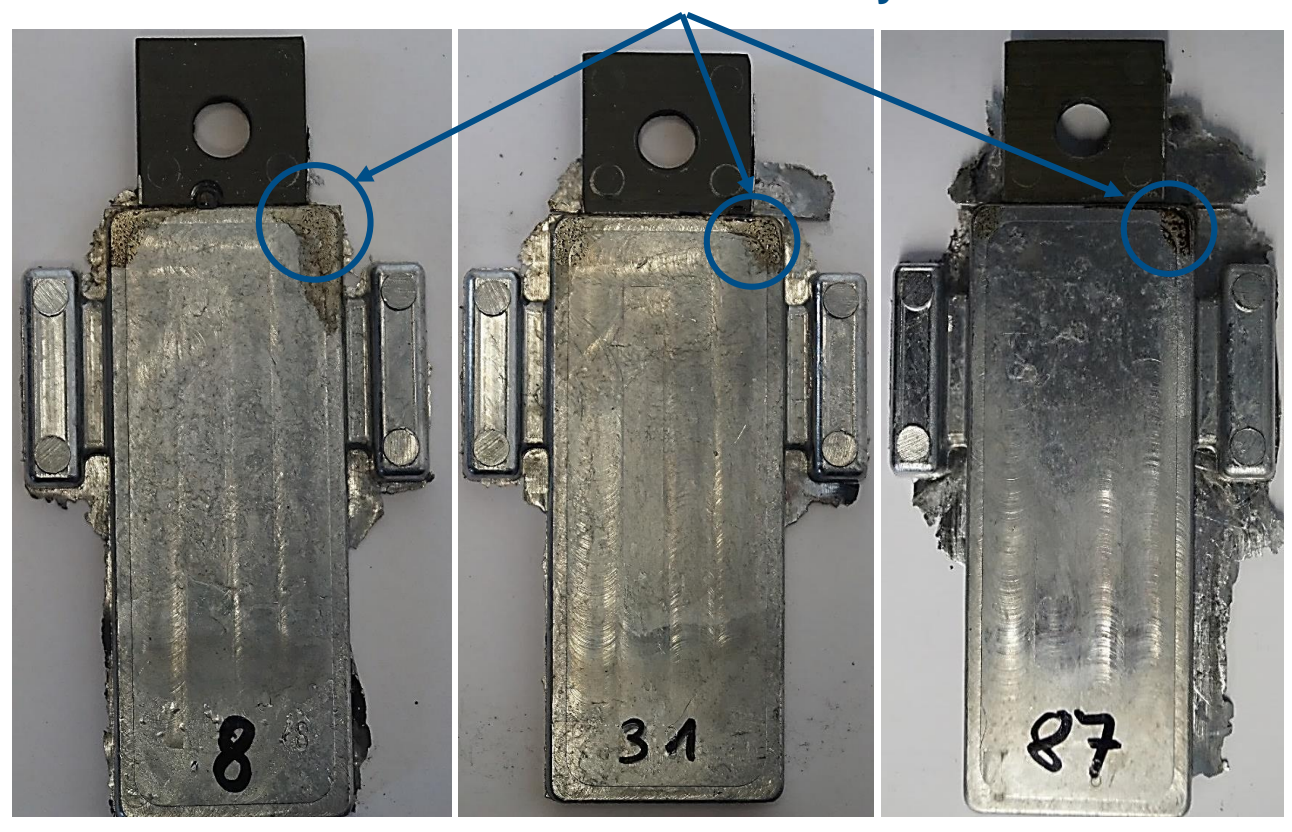
Probekörper CFK und Aluminium





Probekörper der Verbindung CFK und Aluminium bzw. Magnesium mit 2 mm Wandstärke

Leichte Reaktion mit Matrixsystem



Anschnittgeschwindigkeit: 40 m/s Spez. Nachdruck: 900 bar

Sehr geringe bis keine Reaktion mit Matrixsystem



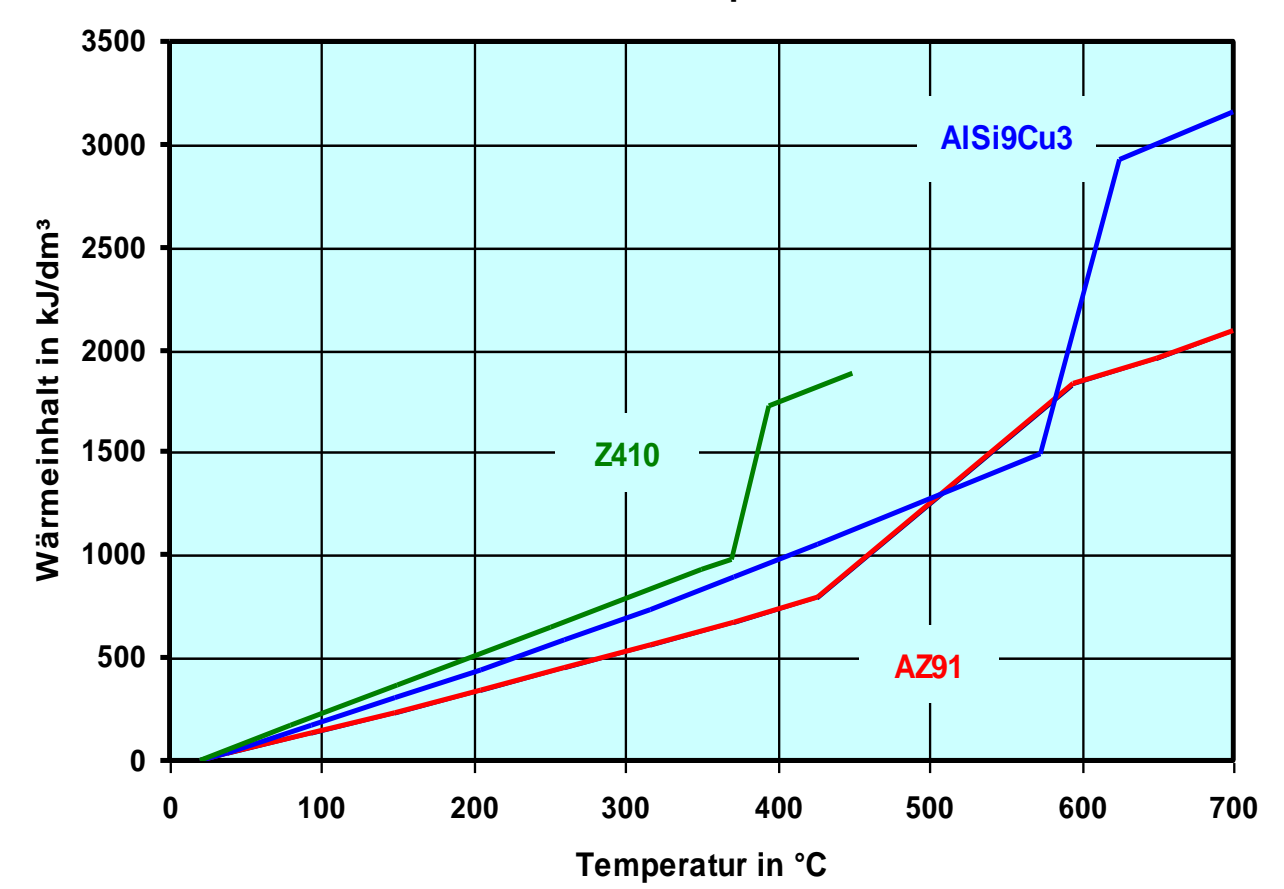
Anschnittgeschwindigkeit: 40 m/s Spez. Nachdruck: 900 bar

Untersuchung der Probekörper



- Geringere Schädigung des CFK-Laminates bei Proben mit Magnesium
- Magnesium besitzt eine deutlich geringere Wärmeenthalpie gegenüber Aluminium

Gesamter Wärmeinhalt pro Volumen

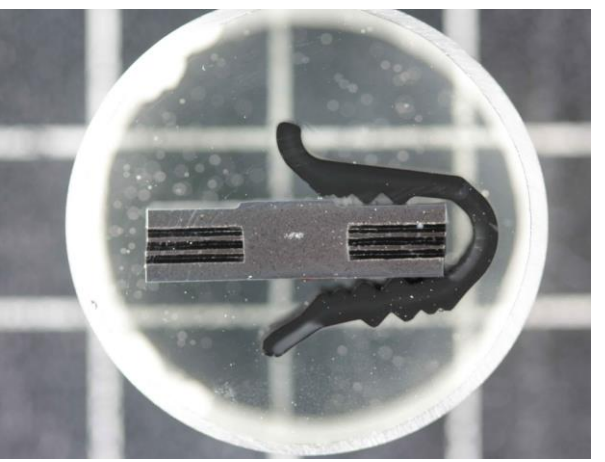


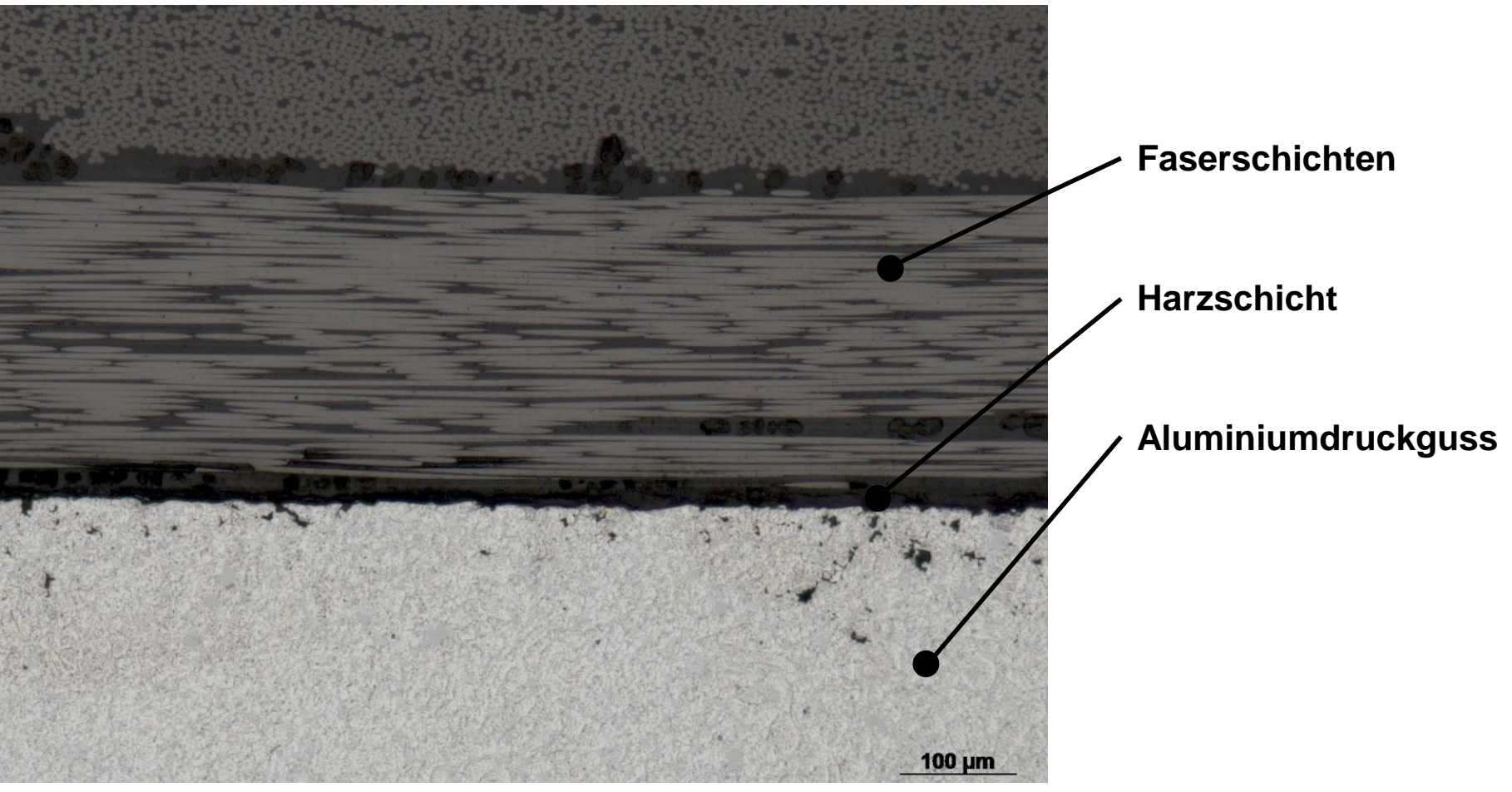
(Quelle: HS Aalen, Leis)



Querschliffaufnahmen der Probekörper



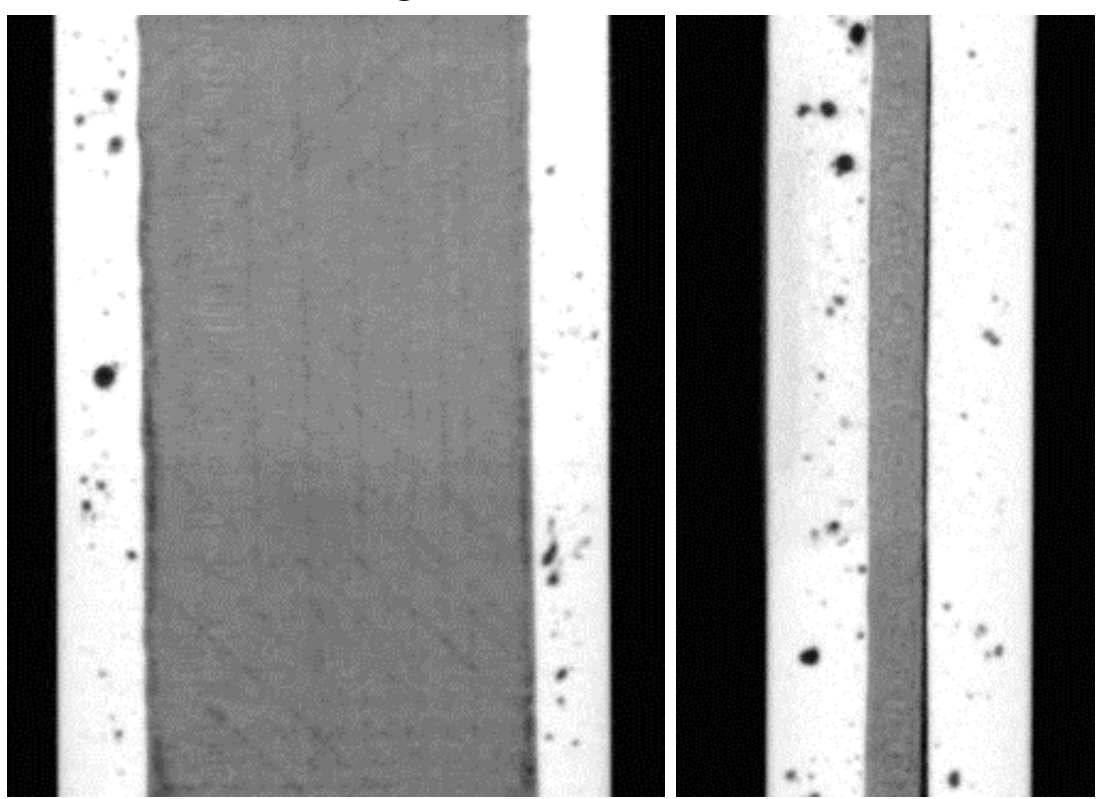






Probekörper mit 8 mm Wandstärke des Aluminiums bzw. Magnesiums

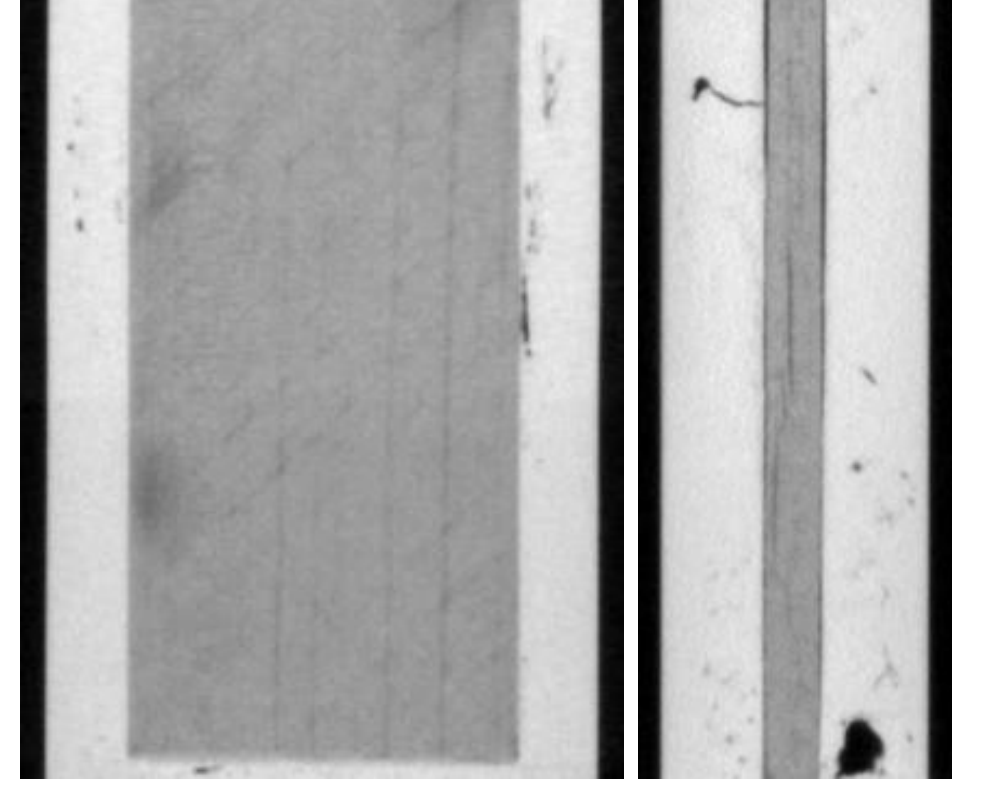
Zersetzung der Kunststoffmatrix führt zu Porosität im Probekörper



CFK-Aluminium Probekörper

Anschnittgeschwindigkeit: Spez. Nachdruck:

40 m/s 600 bar



CFK-Magnesium Probekörper

Anschnittgeschwindigkeit : Spez. Nachdruck:

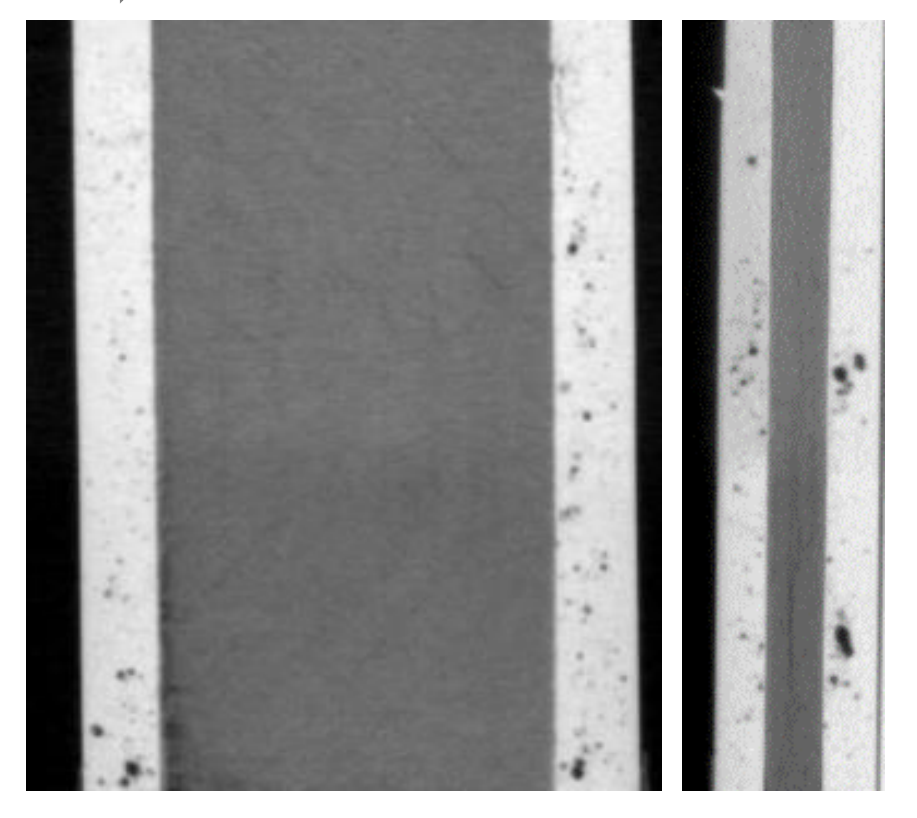
40 m/s 600 bar

Versuchsergebnisse



Probekörper mit 4 mm Wandstärke des Aluminiums bzw. Magnesiums

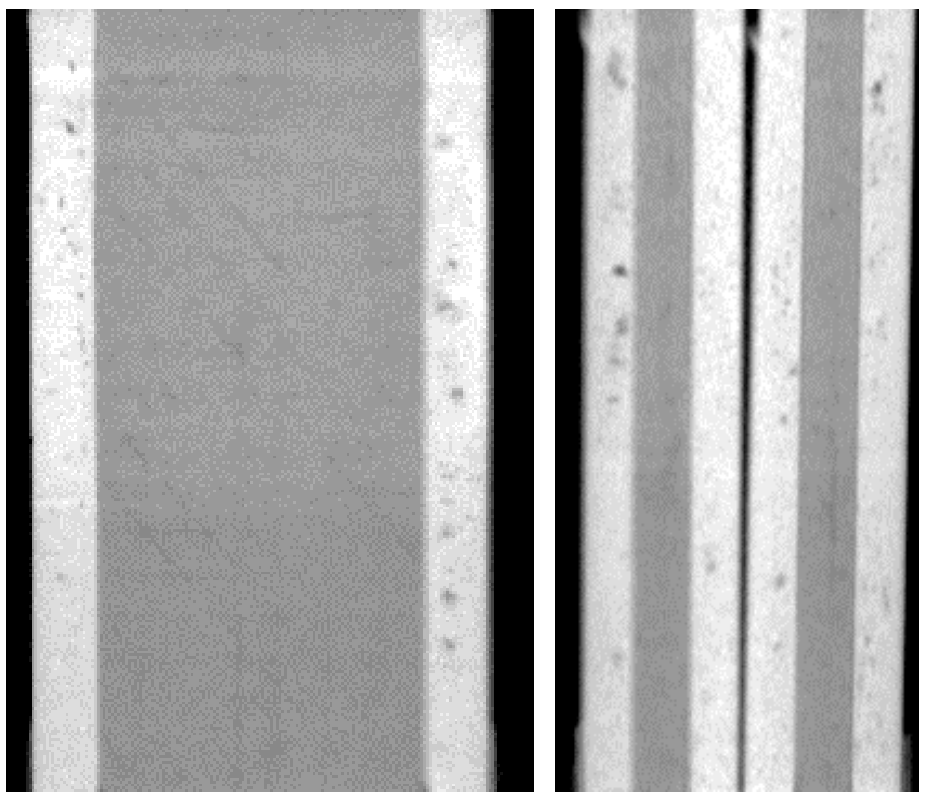
4 mm Proben weisen ebenfalls Fehlstellen auf



CFK-Aluminium Probekörper

Anschnittgeschwindigkeit: Spez. Nachdruck:

40 m/s 600 bar



CFK-Magnesium Probekörper

Anschnittgeschwindigkeit : Spez. Nachdruck:

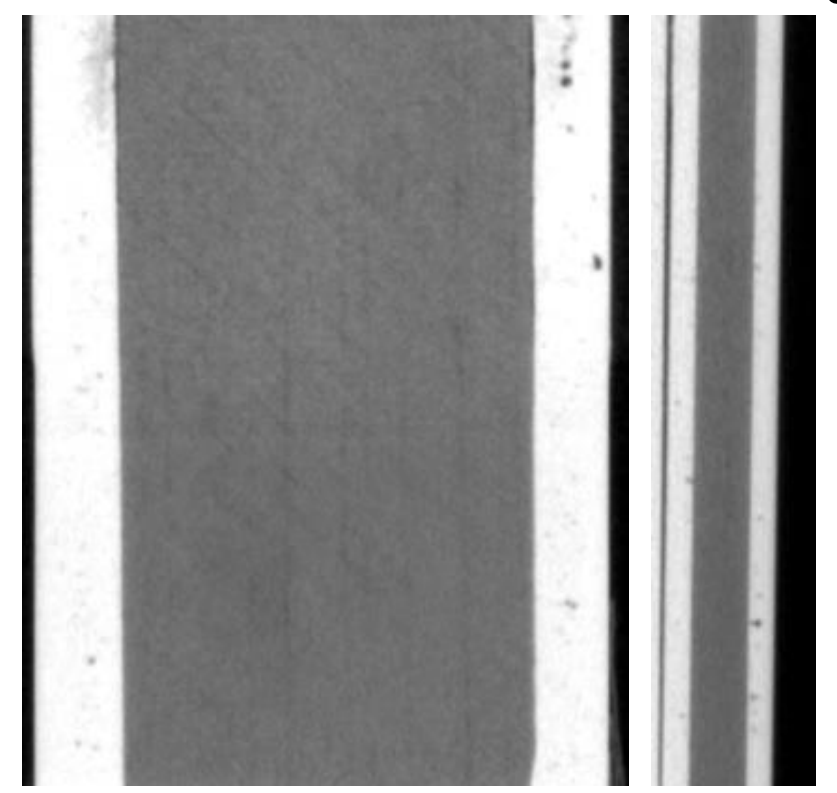
40 m/s 600 bar

Versuchsergebnisse



Probekörper mit 2 mm Wandstärke des Aluminiums bzw. Magnesiums

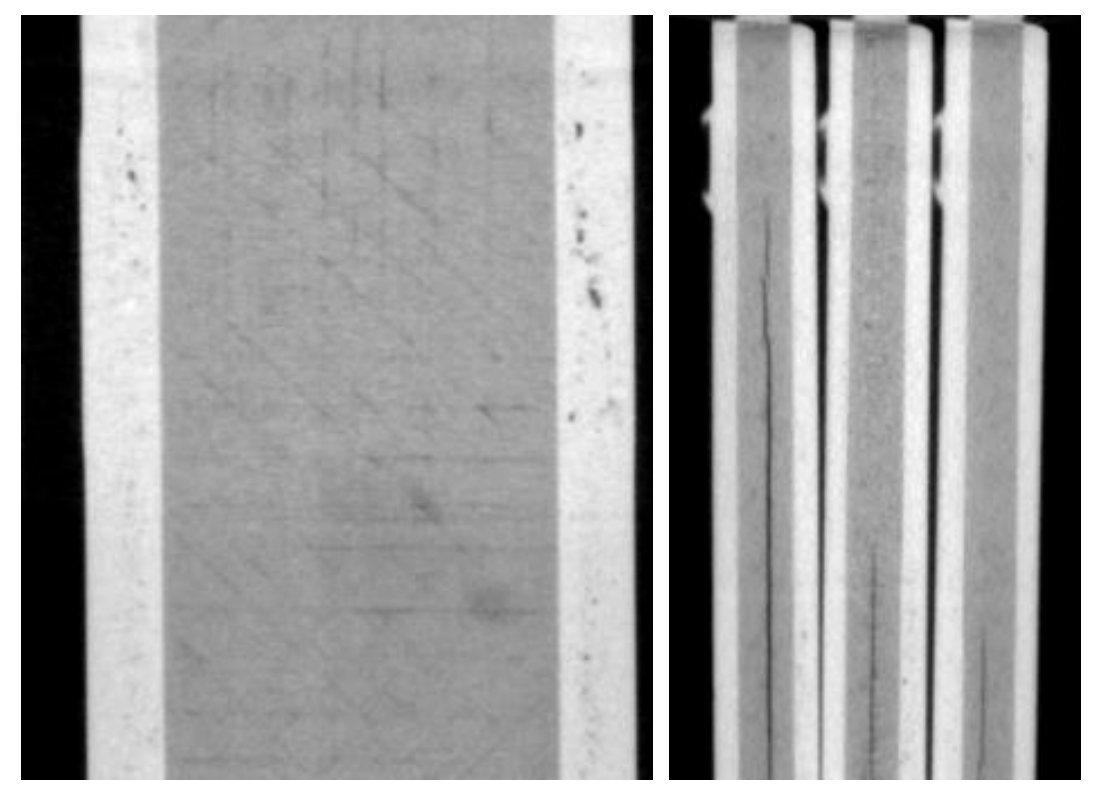
2 mm Proben weisen keine großen Fehlstellen auf



CFK-Aluminium Probekörper

Anschnittgeschwindigkeit: Spez. Nachdruck:

40 m/s 600 bar



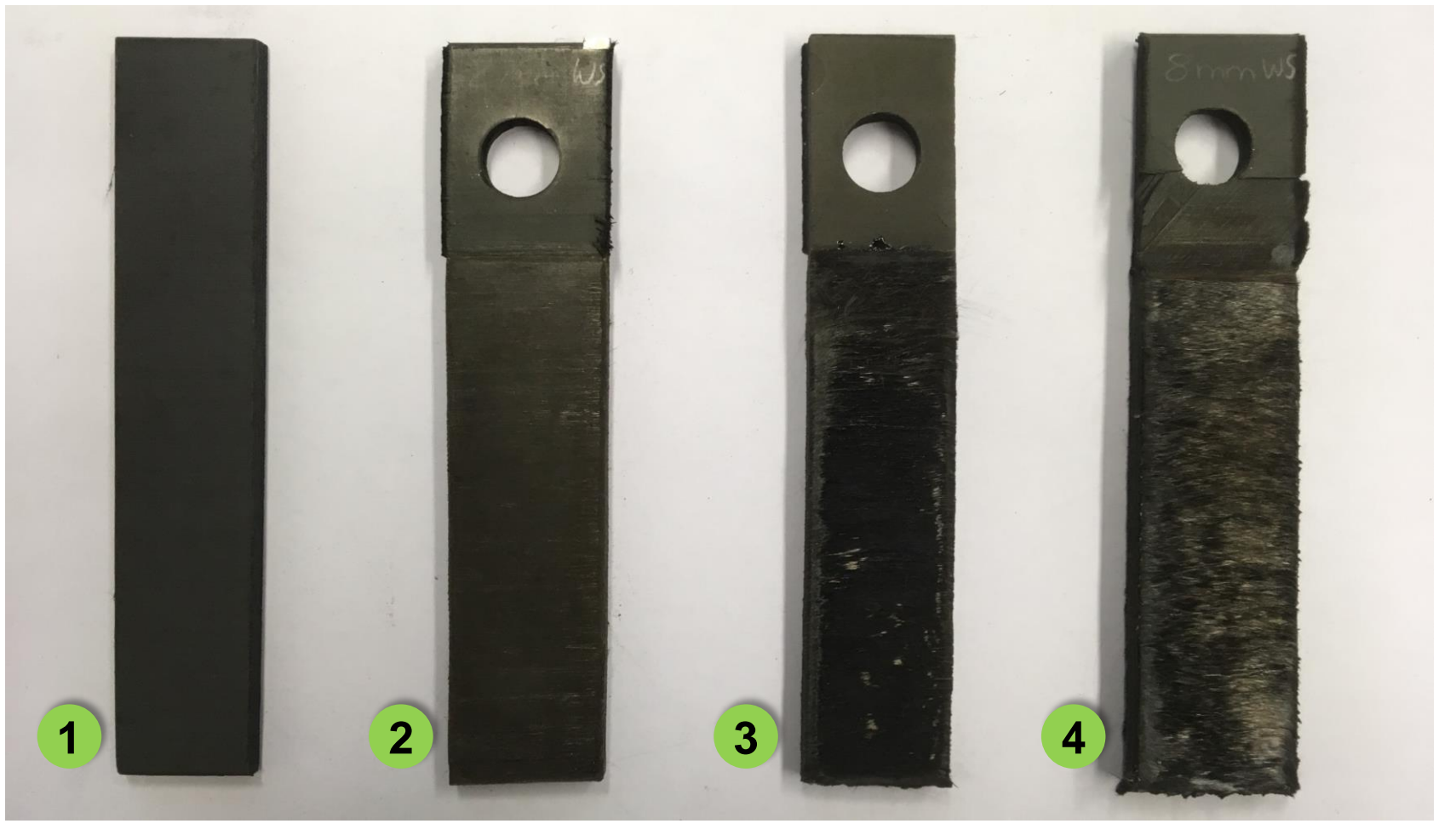
CFK-Magnesium Probekörper

Anschnittgeschwindigkeit : Spez. Nachdruck:

40 m/s 600 bar



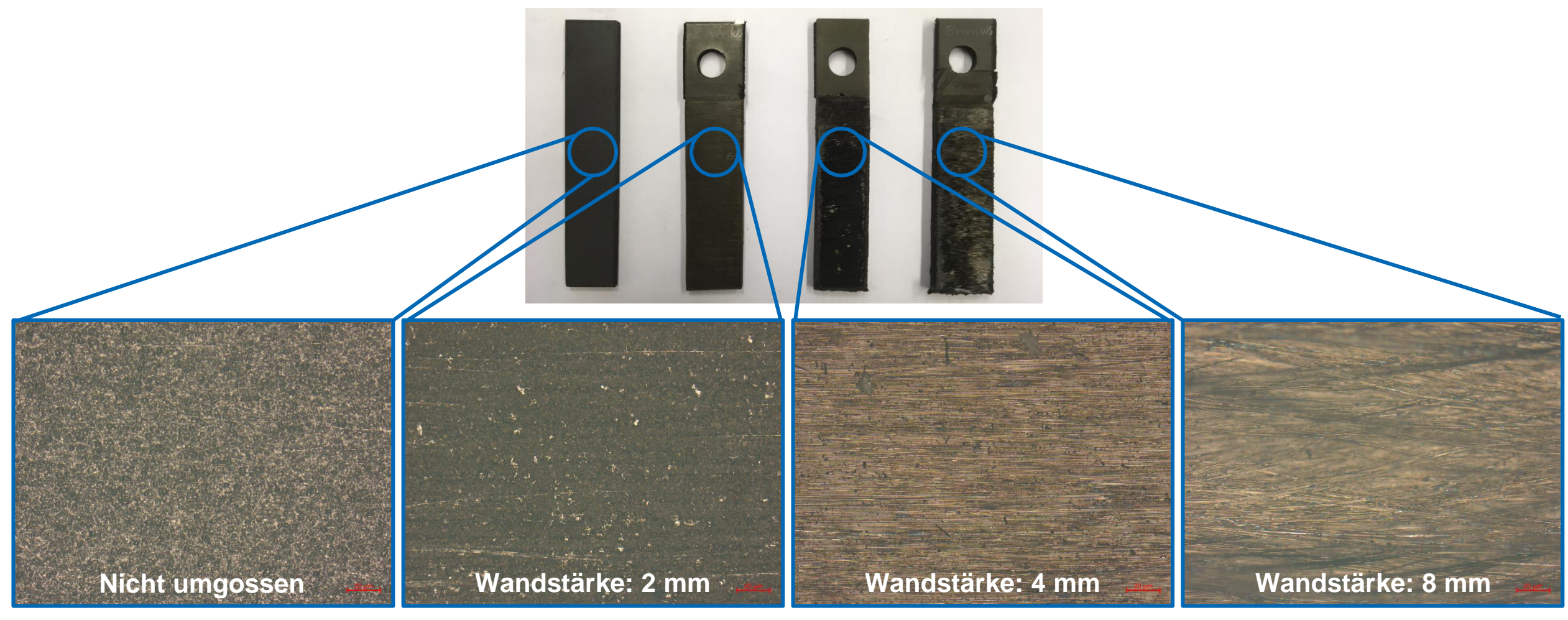
Trennen der Fügeverbindung CFK und Aluminium



CFK-Rohling (nicht umgossen, 1), Umgusswandstärke 2 mm (2), Umgusswandstärke 4 mm, (3) und Umgusswandstärke 8 mm (4)



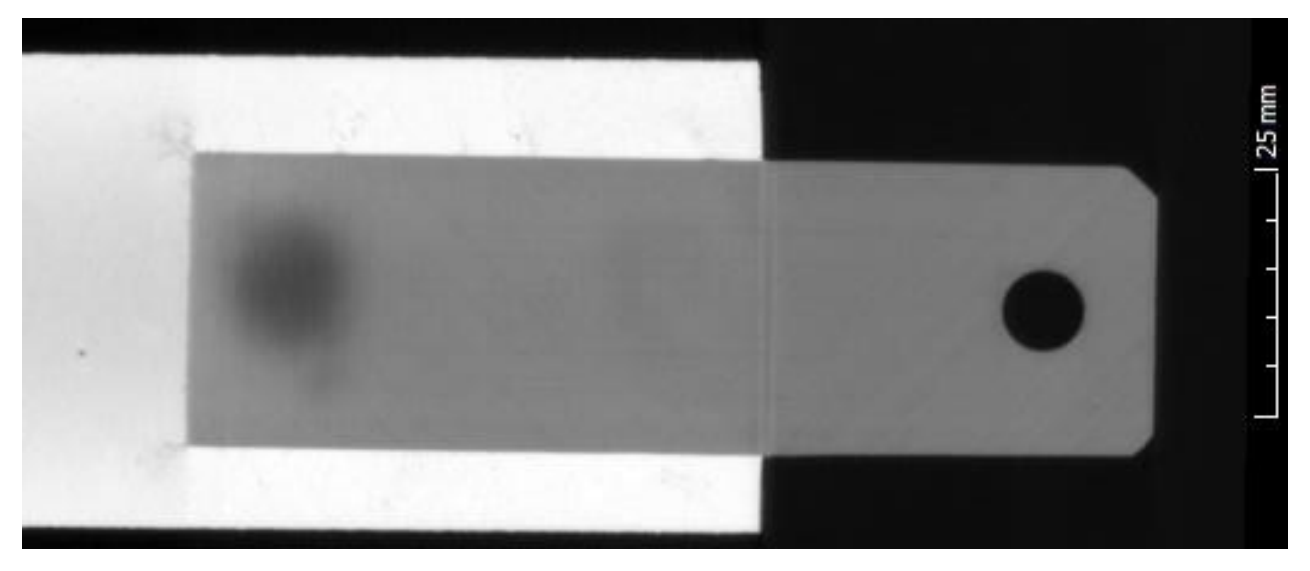
Proben mit variierenden Umgusswandstärken des Aluminiums von 2 mm, 4 mm und 8 mm



Fazit Wandstärkenuntersuchung



- Proben mit variierenden Umgusswandstärken von 1 mm, 2 mm, 4 mm und 8 mm zeigen unterschiedliche "Schädigungen" der Kunststoffmatrix des CFK-Laminates
- Hohe Schädigung des CFK-Laminates bei 8 mm Wandstärke des Aluminiums und Magnesiums
- Geringere Schädigung bei 4 mm Wandstärke des Magnesium gegenüber 4 mm Wandstärke des Aluminiums
- Proben mit 1 mm und 2 mm Wandstärke zeigen sowohl bei Aluminium als auch Magnesium sehr geringe
 Schädigungen des CFK-Laminates



CT-Aufnahme eines Probekörpers mit 1 mm Aluminiumwandstärke

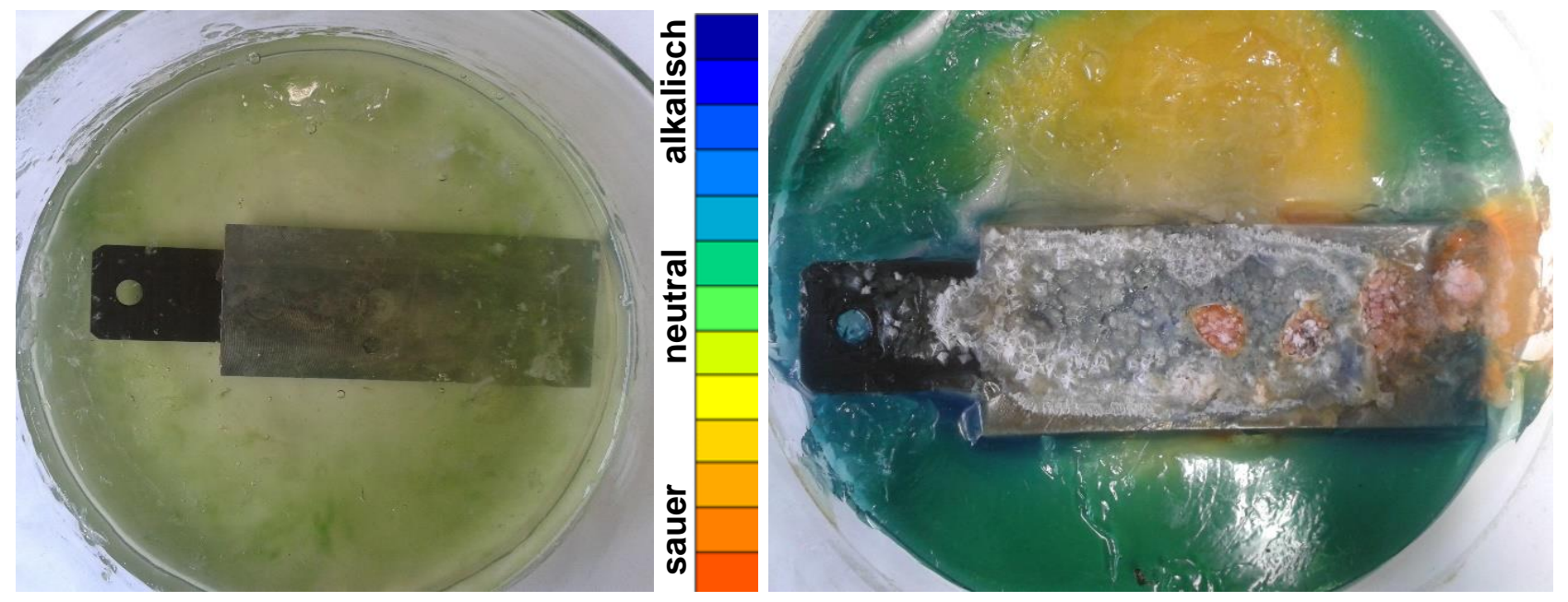
Versuchsergebnisse



19

Untersuchung der Kontaktkorrosion

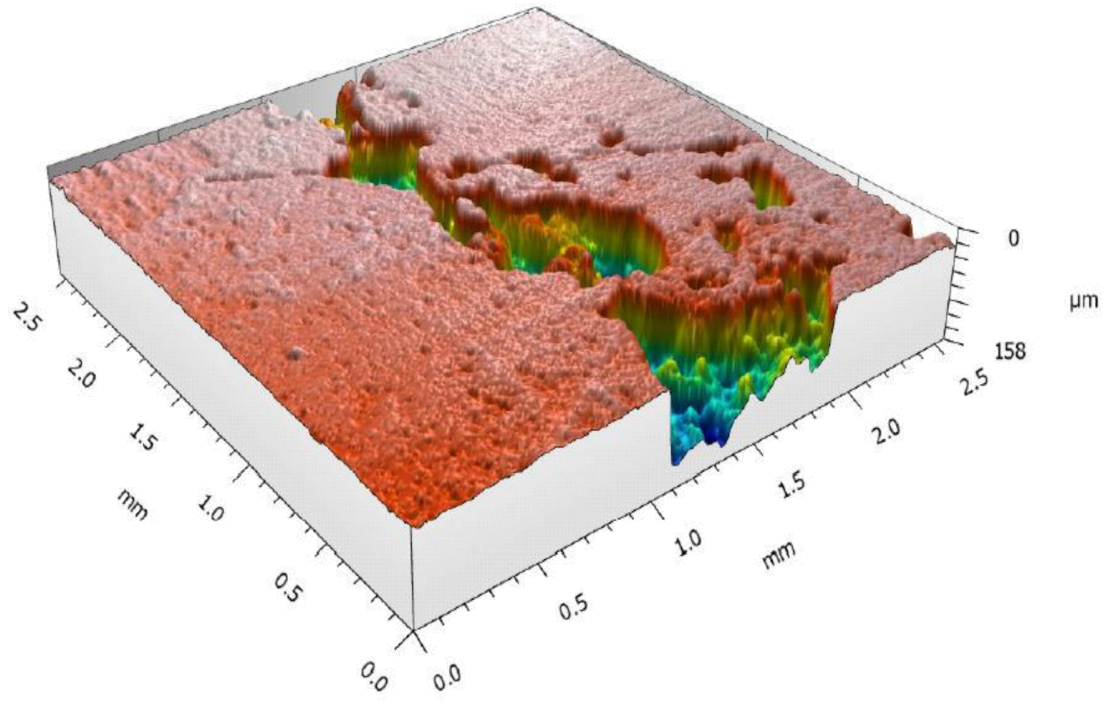
- Kohlefasern geraten prozessbedingt in Kontakt mit dem Leichtmetall
- Versuche mit NaCl geben ersten Eindruck über das Korrosionsverhalten
- Kathodische und anodische Reaktionen führen zu einer lokalen Veränderung des pH-Wertes, welcher durch einen Universalindikator sichtbar gemacht werden kann



Mit Agar angedickte 3,5 % NaCl-Lösung, eingebettetes Hybridbauteil Links: Zu Beginn des Versuches, Rechts: Nach 14 Tagen Verweildauer



Topografische Untersuchung von Probekörpern nach der Salzbadbehandlung



Topografische Aufnahme eines Probekörpers CFK/Al 3,5 % NaCI-Lösung, 1 Woche.







Probekörper nach einer Woche in 3,5 % Salzlösung



Probekörper nach 6 Wochen in 3,5 % Salzlösung

Folgeprojekt: Korrosionsprüfung für den hybriden Leichtbau (KorLe/KMU-Projekt)

Folgeprojekt KorLe - Druckumgossene Hybridproben



Probenübersicht Serie B (K2) und Serie D (K4) aller NSS-Zyklen





C0

C1

C2

C3

C4

C5

C0

C1

C2

C3

C4

C5

Probenserie K2 CFK und Aluminiumlegierung AlSi10MnMg

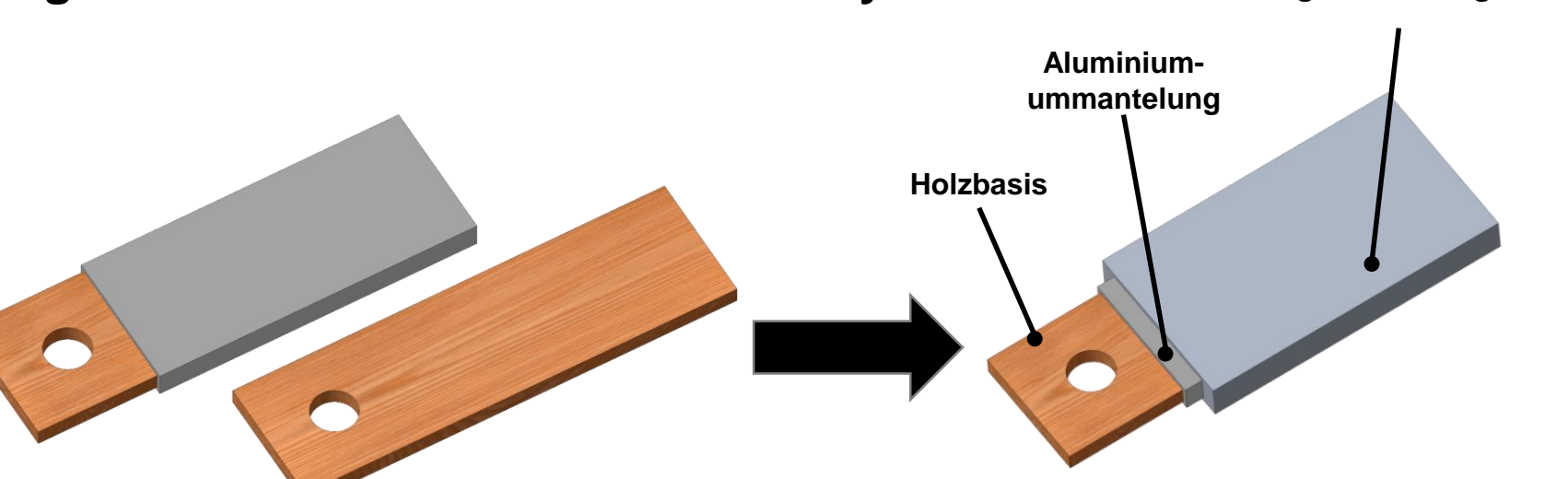
Probenserie K4 CFK und Aluminiumlegierung Anticorodal-70 AlSi7Mg0,3

Deutlich höhere Korrosionserscheinungen bei Aluminiumlegierung AlSi10Mg





Umgießen von holzbasierten Materialsystemen



Holzeinlegeteile mit und ohne Aluminiumschutzschicht

Umgussprobe
Aluminium oder Magnesium

Aluminium bzw.

Magnesium Umguss

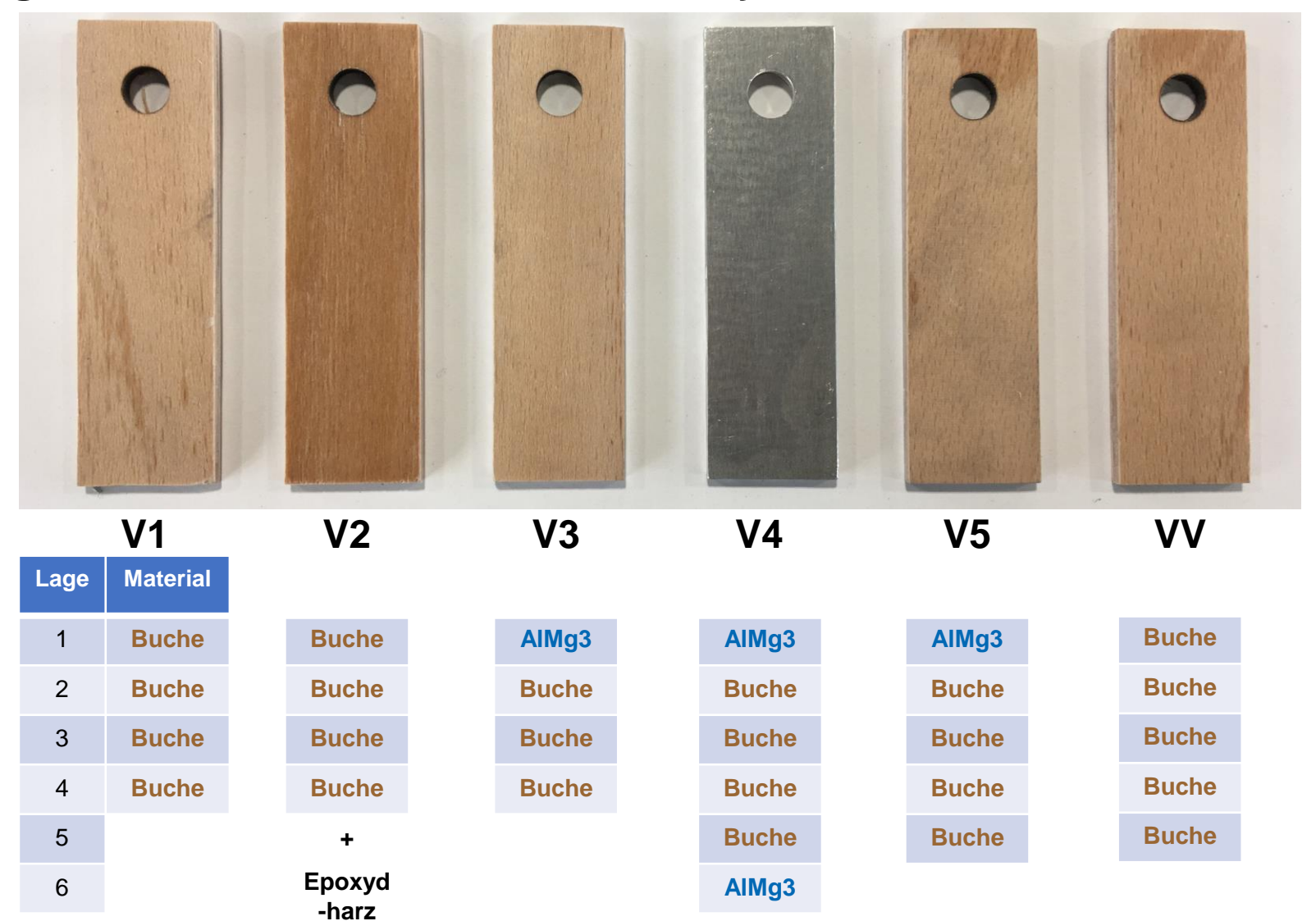


Mögliche Holz-/ Aluminium Profilstrukturen

Quelle: Vortrag VW; WerkstoffPlusAuto 2019

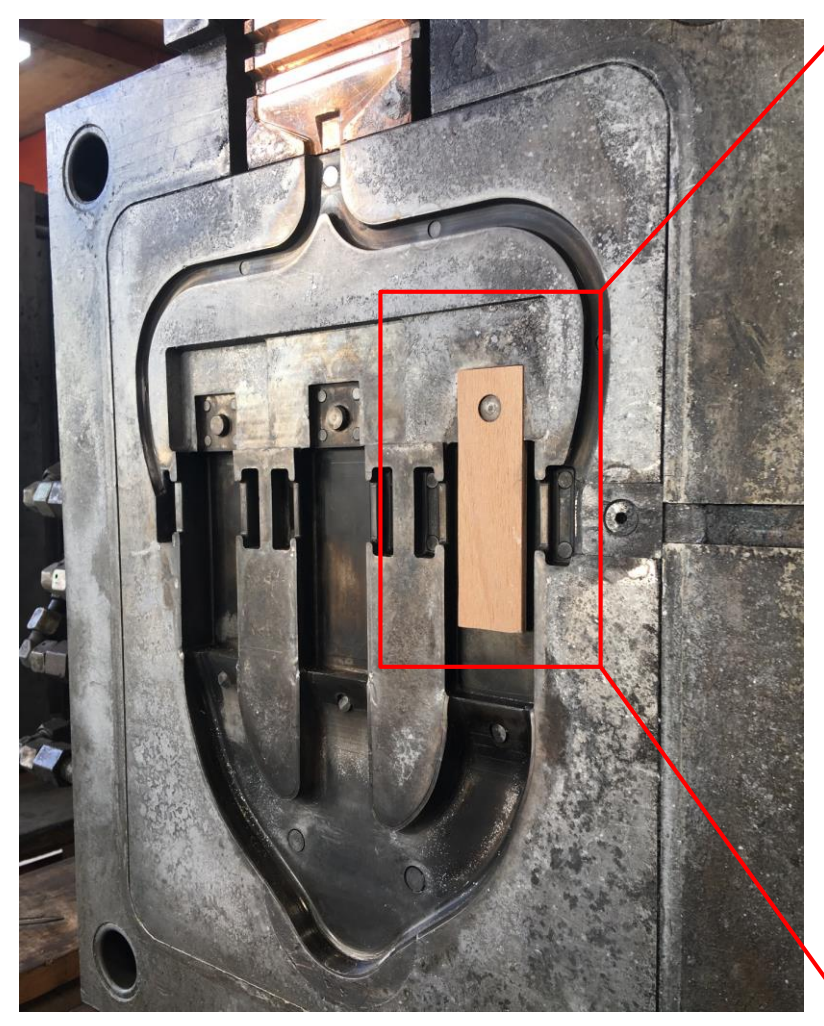


Druckumgießen von holzbasierten Materialsystemen



Hochschule Aalen

- Fixierung der Holzbauteile in der Druckgießform
- Umgießen mit der Aluminiumdruckgusslegierung AlSi10Mg





Hochschule Aalen

Optische Begutachtung der Hybridproben

- Thermische Beeinflussung der Einlegeteile bei Umgießen mit Aluminium
- Geringere Beeinflussung der Einlegeteile beim Umgießen mit Magnesium zu beobachten





Vergleich Hybridproben mit Aluminium (links) und Magnesium (rechts)



Optische Begutachtung der Hybridproben

- Thermische Beeinflussung der Einlegeteile bei Umgießen mit Aluminium
- Geringere Beeinflussung der Einlegeteile beim Umgießen mit Magnesium zu beobachten



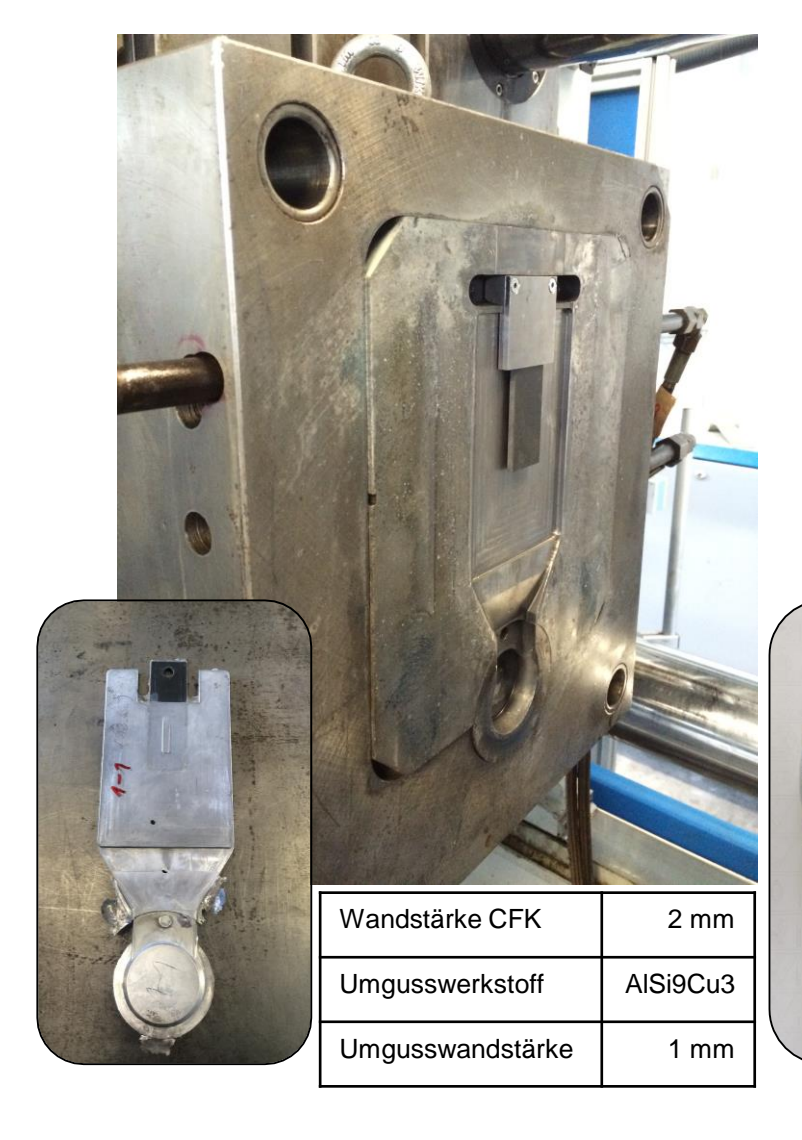


Vergleich Hybridproben mit Aluminium (links) und Magnesium (rechts)

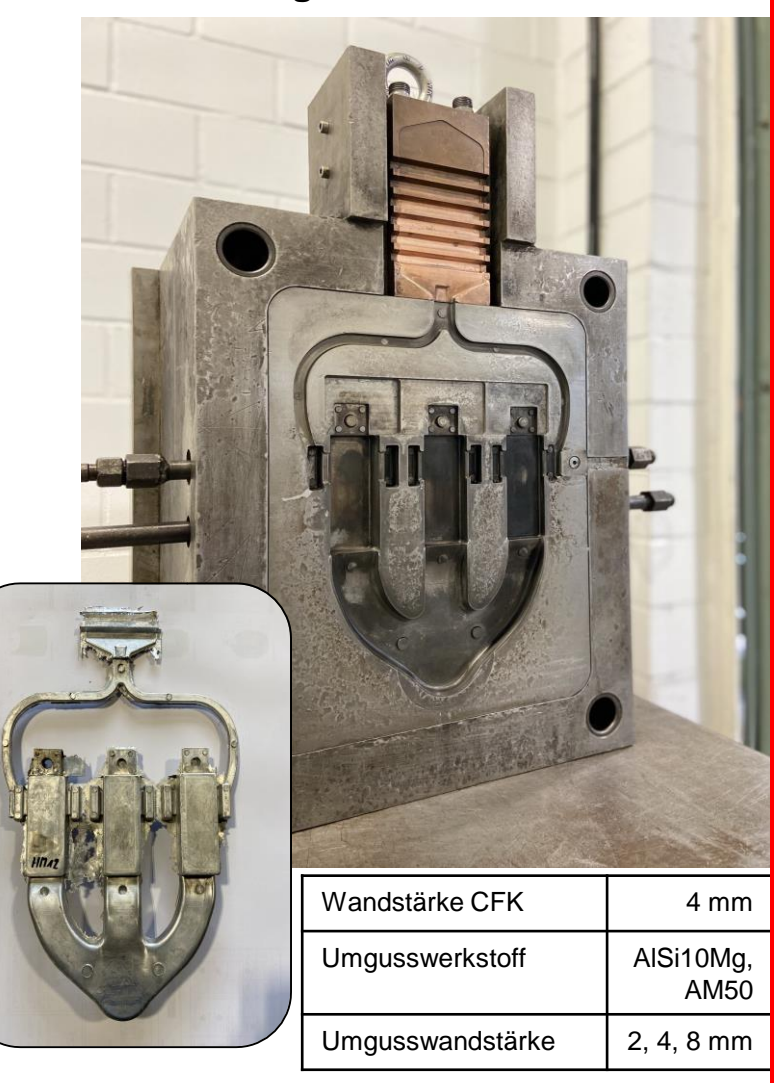
Entwicklung Druckgießwerkzeug



CFK-Umguss Plattengeometrie



3-fach Werkzeug mit variierenden Umguss-Wandstärken

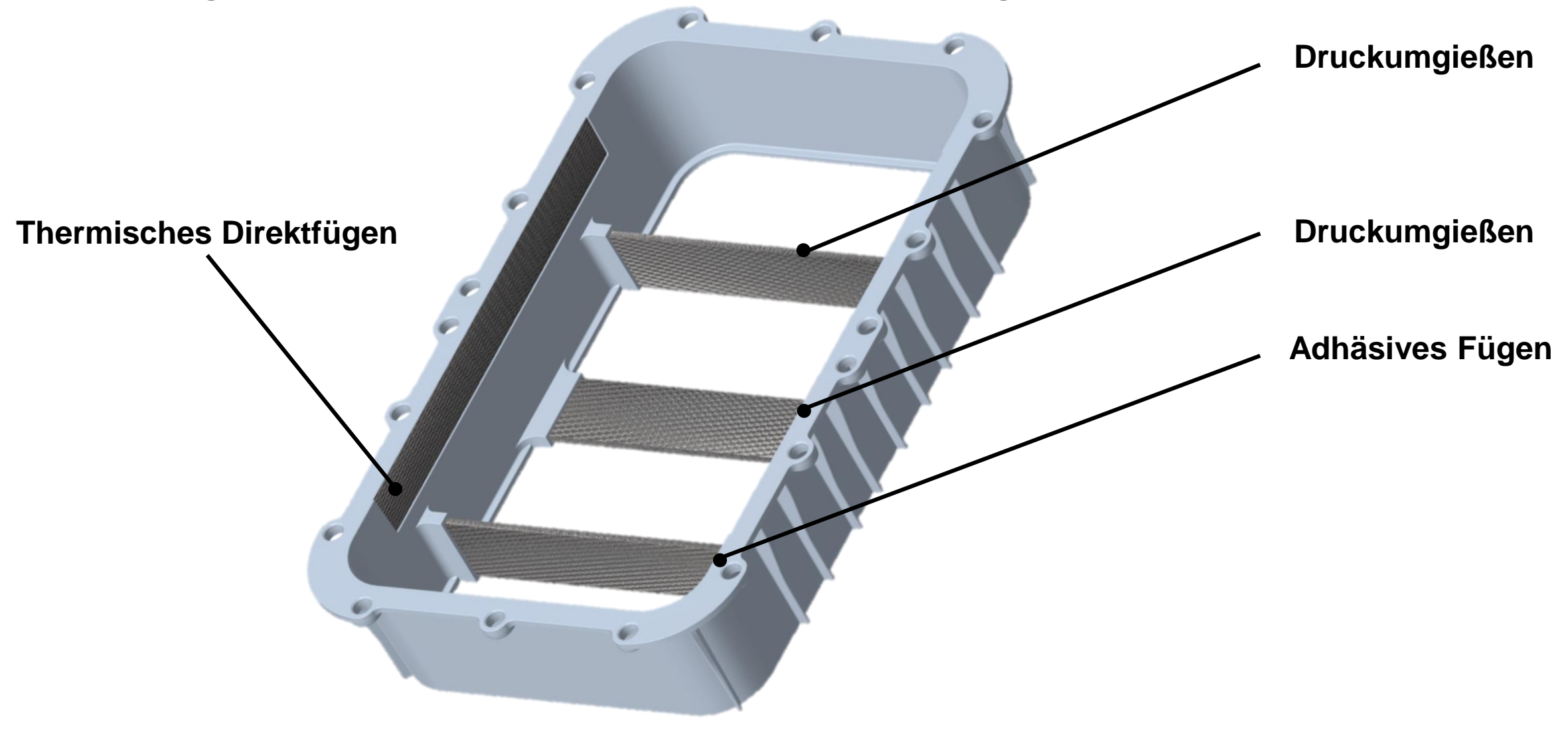


Demonstrator-Batteriegehäuse





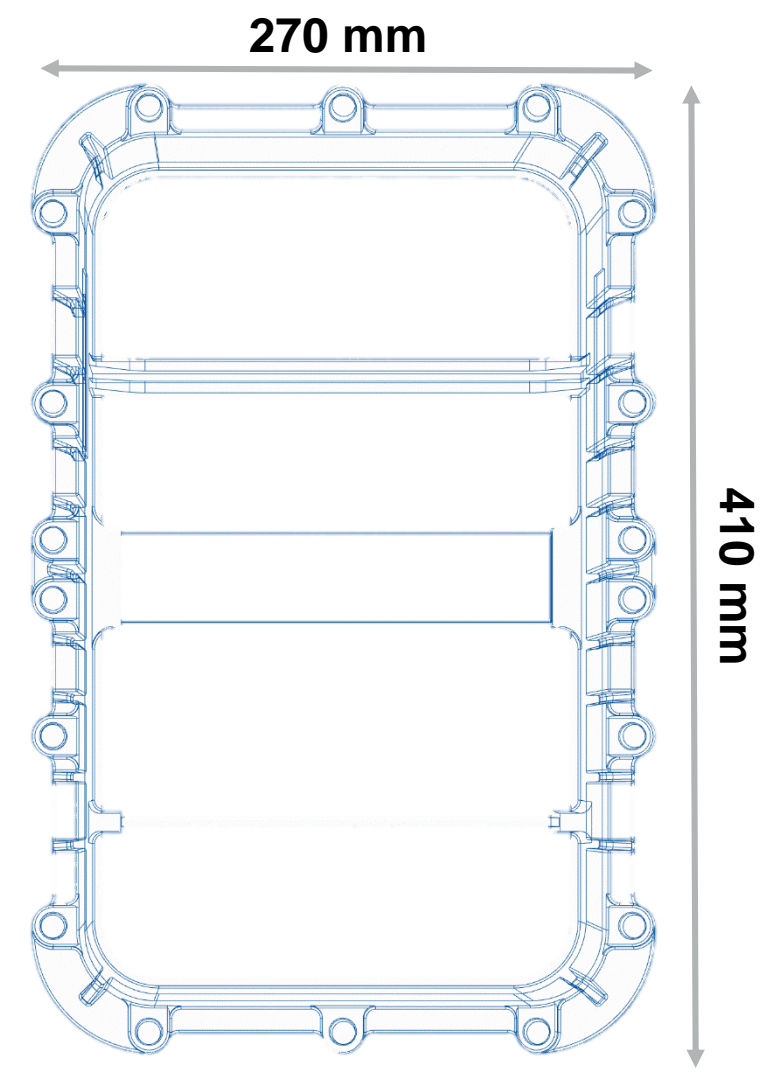
Entwicklung eines faserverstärkten Demonstrator-Batteriegehäuses



Demonstrator Leichtbau-Batteriegehäuse



Gehäuserahmen





Herstellungsverfahren: Druckguss

Druckgusslegierungen: AlSi10Mg, AM50

Durchschnittliche Wandstärke: 3 mm

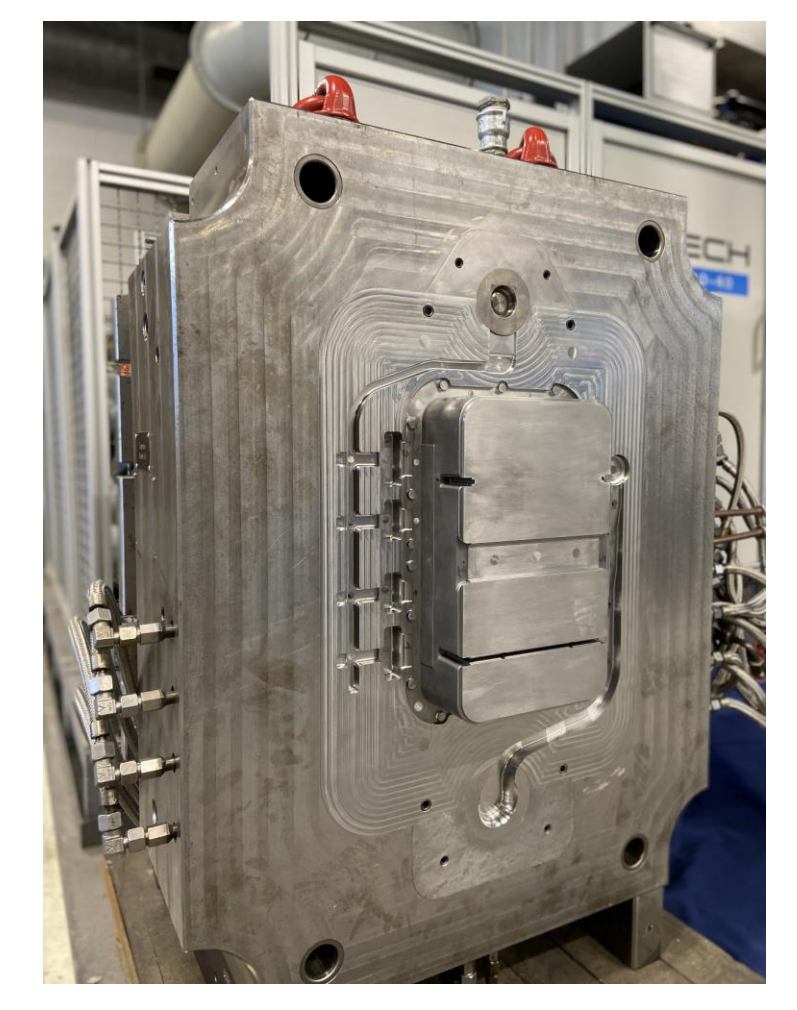
Gesamtgewicht Bauteil (AI): 1,35 kg

Gesamtgewicht Bauteil (Mg): 0,85 kg

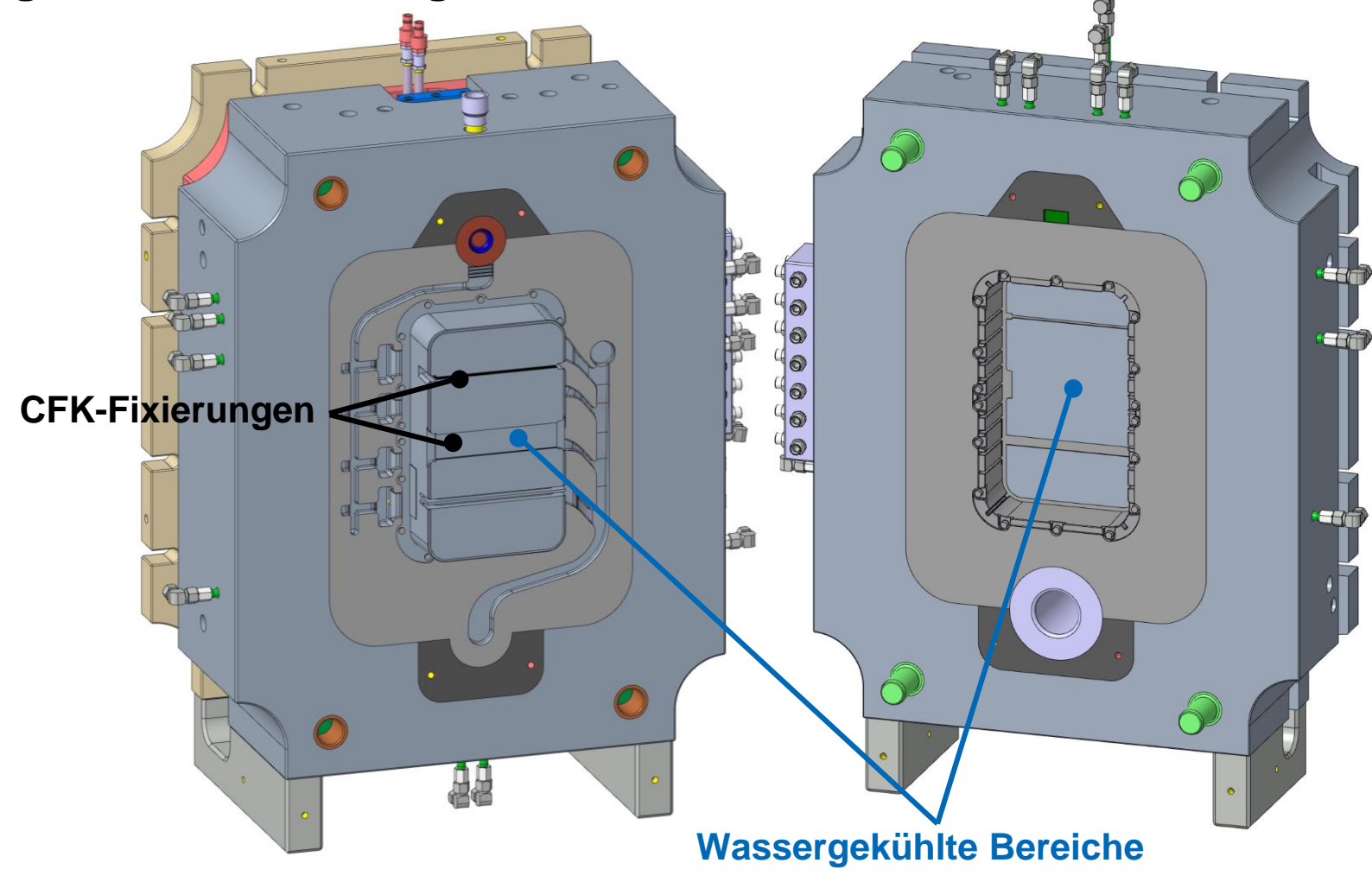
Demonstrator Leichtbau-Batteriegehäuse



Entwicklung Druckgießwerkzeug mit CFK-Fixierungen



Auswerferseite Druckgießwerkzeug

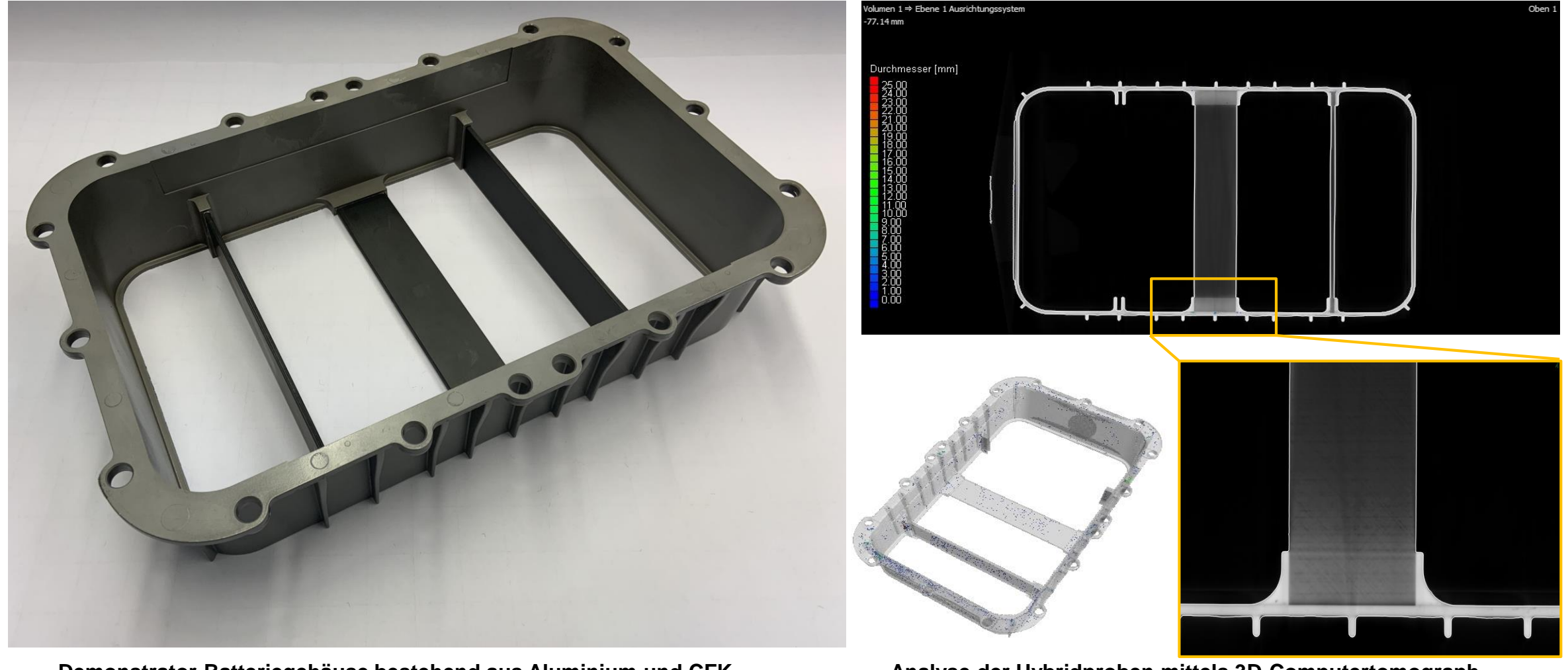


CAD-Modell Auswerferseite

CAD-Modell Eingießseite



Herstellung von Leichtbau-Batteriegehäusen im Aluminium- und Magnesiumdruckgießverfahren



Demonstrator-Batteriegehäuse bestehend aus Aluminium und CFK

Analyse der Hybridproben mittels 3D-Computertomograph